

Гипотеза о грави-магнитной индукции

Введение

В данной статье рассматривается гипотеза о грави-магнитной индукции и некоторых, проверяемых, следствиях из нее. Сама гипотеза, о связи вращающегося гравитационного и магнитного полей, не нова. Такие предположения делались и раньше многими авторами. В средствах массовой информации так же проходила информация о эксперименте, подтверждающем данную гипотезу. Но в указанном источнике не приводились технические подробности и не приводились авторы. Поэтому ссылку на эту информацию дать не представляется возможным. Не вдаваясь в историю вопроса, рассмотрим саму модель гипотезы. В обоснование гипотезы заметим, что в Солнечной системе магнитное поле имеют только вращающиеся планеты. На этот факт указывают многие авторы. Далее Автор обосновывает предлагаемую систему уравнений для описания магнитно-гравитационной индукции и рассматривает некоторые проверяемые следствия из модели гипотезы.

Модель грави-магнитной индукции

Модель грави-магнитной индукции представлена на рис. 1.

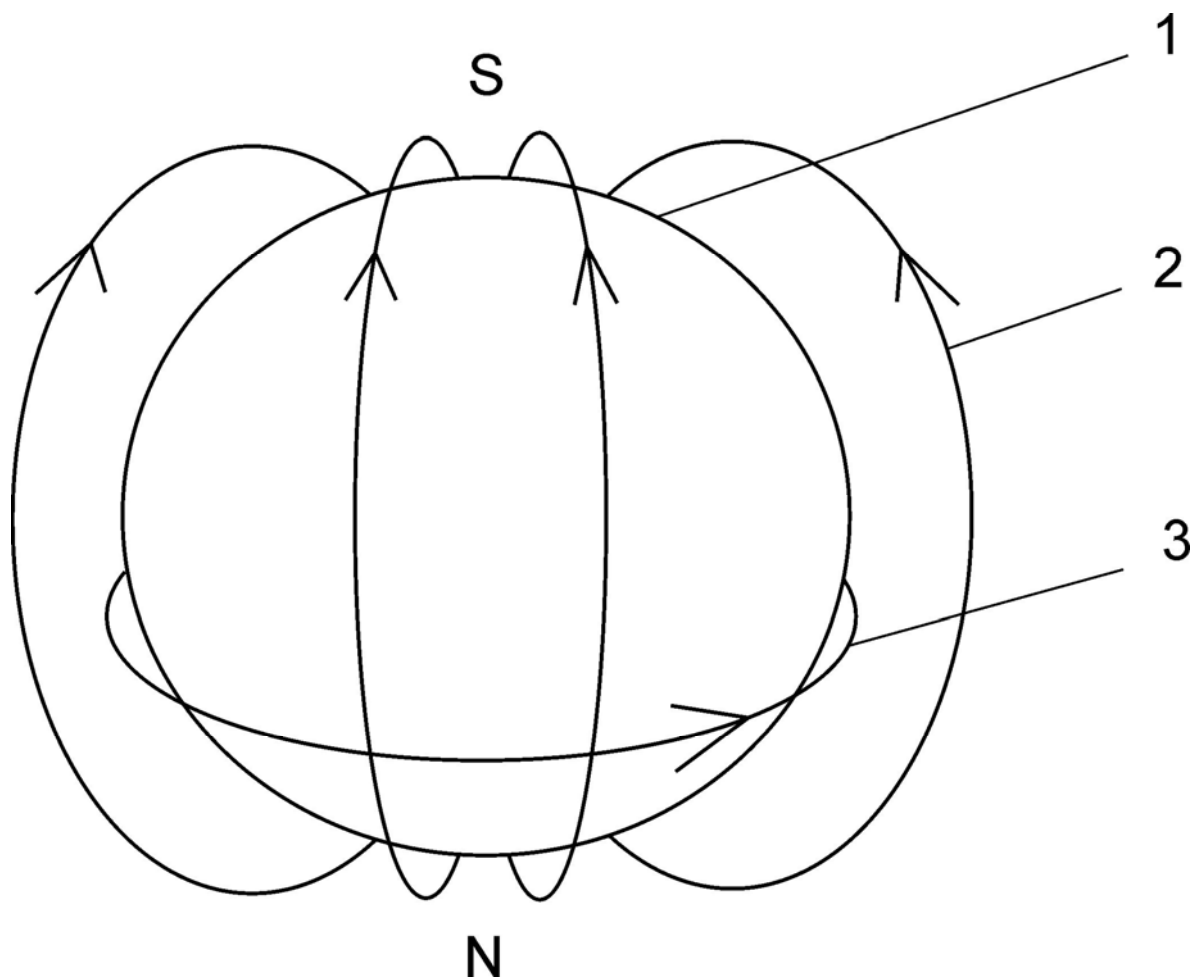


Рис.1.

На рис. 1 обозначены - 1 - вращающаяся гравитационная сфера. 2 - Индуцируемое магнитное поле. 3 - плоскость и направление вращения сферы. S и N - южный и северный полюса индуцированного магнитного поля H .

По структуре грави-магнитной индукции видно, что индукция является поперечной и должна описываться одной из четырех систем уравнений поперечной метасистемы. Грави-магнитная индукция во многом повторяет электро-магнитную индукцию EH . Похожее магнитное поле индуцируется вокруг витка с током. Электромагнитное поле EH описывается системой уравнений Максвелла [1] - система уравнений (4) метасистемы. Системы уравнений (2) и (3) поперечной метасистемы не имеют подобных решений. Близкая индукционная структура присутствует только в системе (1) метасистемы:

(1)

$$\left\{ \begin{array}{l} \operatorname{rot} \bar{K} + \bar{J}_H + g_{H0} \frac{\partial \bar{H}}{\partial t} = 0, \\ \operatorname{rot} \bar{H} + \bar{J}_K + g_{K0} \frac{\partial \bar{K}}{\partial t} = 0, \\ \operatorname{div} \bar{H} - \frac{1}{g_{H0}} \rho_H = 0, \\ \operatorname{div} \bar{K} - \frac{1}{g_{K0}} \rho_K = 0. \end{array} \right.$$

Здесь: K, H – напряженности гравитационного и магнитного полей, J_K, J_H – пространственные плотности токов соответствующих полей, g_{K0}, g_{H0} – константы проницаемости среды для соответствующих полей, ρ_K, ρ_H – пространственная плотность заряда соответствующих полей.

Из предполагаемой системы уравнений (1) следует, что индукция должна быть обратима - как вращающаяся гравитационное поле K индуцирует вокруг себя магнитное поле H , так и вращающееся магнитное поле H , с такой же структурой, должно создавать гравитационное поле K . Рассмотрим некоторые следствия из предлагаемой модели. Повторить вращающееся магнитное поле по Рис. 1 в полном объеме - сложная задача. Поэтому рассмотрим варианты ее упрощения с сохранением индукционных свойств.

Экваториальное расслоение

Рассмотрим экваториальное расслоение индукционной структуры по рис. 1. На рис. 2 представлен вариант реализации грави-магнитной индукции KH . На рис. 2 представлены попарно расположенные группы магнитов, вращающиеся в одном направлении. При этом все внутренние магниты ориентированы южным полюсом S вверх, а наружные магниты ориентированы северным полюсом N вверх. Два рядом расположенных магнита, внешний и внутренний, образуют замкнутую магнитную силовую линию. Вращение этой силовой линии, по предложенной модели, должно создавать гравитационное поле K в пространстве между магнитами. На рис. 2 полностью показана только одна пара цилиндрических магнитов. Остальные цилиндрические магниты показаны своими осями симметрии для упрощения рисунка.

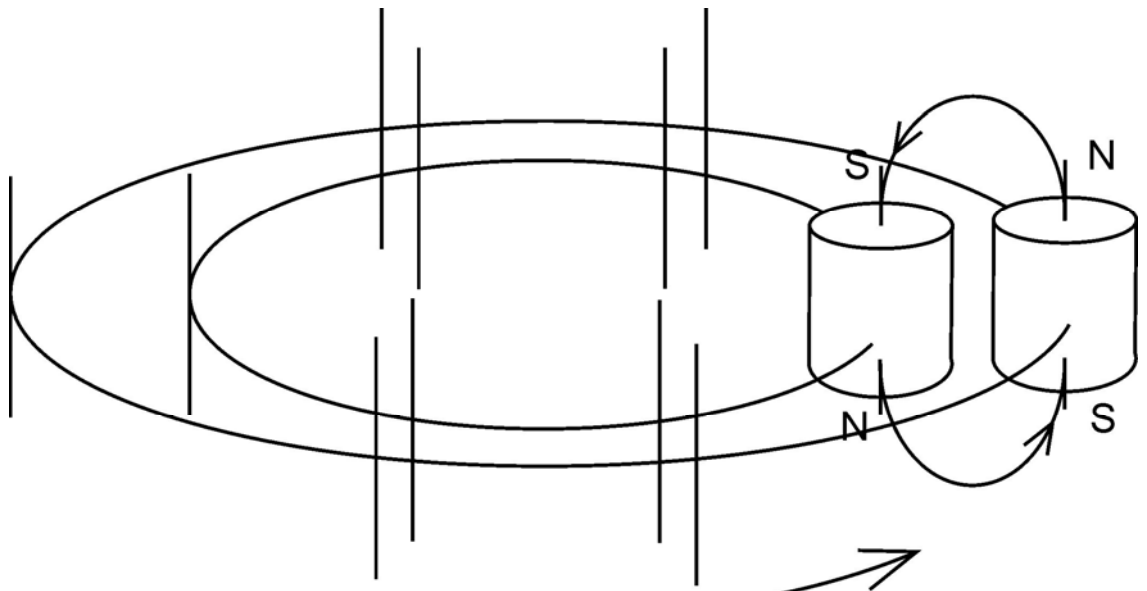
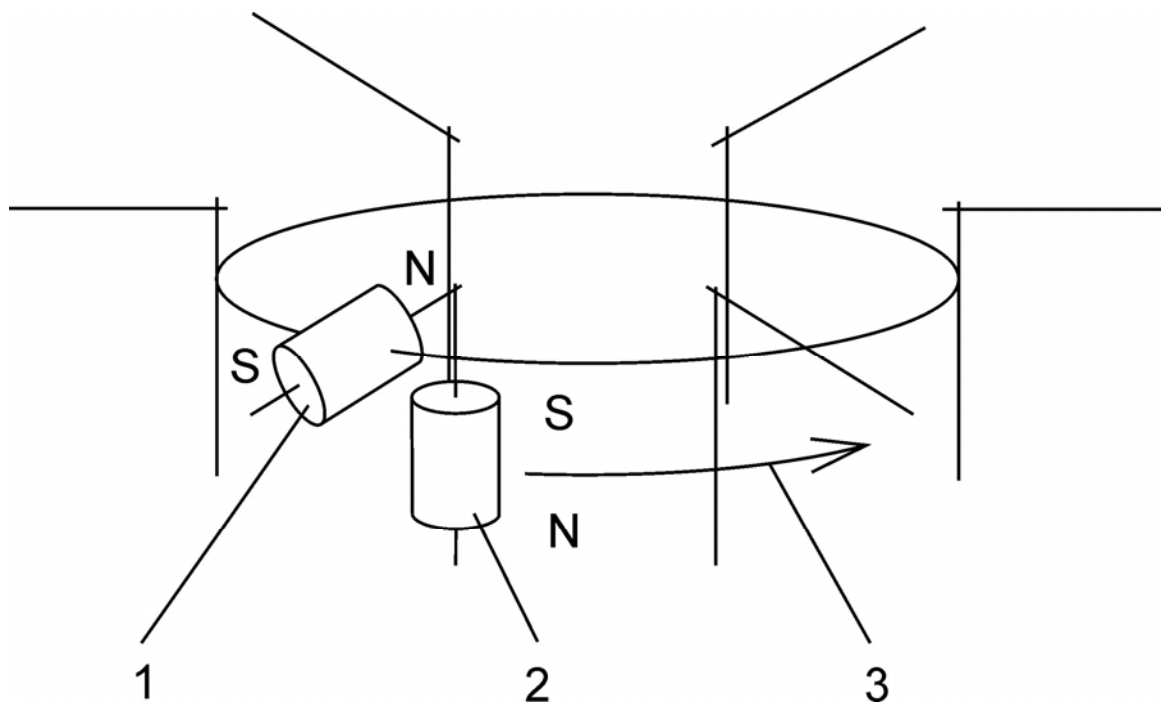


Рис. 2

Полярное расслоение

На Рис. 3 представлено полярное расслоение. На Рис. 3 представлена система из расположенных под углом цилиндрических магнитов 1 и 2. При этом вертикальный цилиндрический магнит 2 имеет сверху южный полюс S, соответственно, внизу - северный полюс N. Расположенный горизонтально цилиндрический магнит 1 повернут к магниту 2 северным полюсом N. Остальные цилиндрические магниты показаны своими вертикальными и радиальными осями симметрии. Вся система магнитов вращается вокруг центра окружности в направлении 3.



Заключение

Представленные схемы построения индукторов грави-магнитного поля *КН* позволяют начать экспериментальную проверку существования грави-магнитной

индукции поля KH . В случае положительного результата эти же схемы индукторов гравимагнитного поля KH позволяют провести измерение постоянной проницаемости среды g_{k0} , что позволит перейти к технической реализации предлагаемых индукторов гравимагнитного поля KH .

Литература

1. Никольский Н.Н. Электродинамика и распространение радиоволн. – М.: Наука. 1978. – 543 с.

© Кравчик Ю.С. 2018г.